

Обусловленное сверхразрешение с классификаторами

Е. Н. Терентьев^{1*} Н. Е. Шилин–Терентьев^{2†}¹Московский государственный университет имени М. В. Ломоносова, физический факультет, математического моделирования и информатики Россия, 119991, Москва, Ленинские горы, д. 1, стр. 2²Google, San Francisco, CA, USA

(Статья поступила 26.06.2018; Подписана в печать 26.09.2018)

Классификация разновидностей методов сверхразрешения производится по величине промежутка между минимальным значением Модуляционной Передаточной Функции (МПФ) $M(O)$ (для дискретной Аппаратной Функции (АФ) O) и нулем. Классификаторы лежат в основе концепции сверхразрешения. Главный параметр настройки АФ O для повышения разрешения — обусловленность, численно равная обратной величине минимального значения $|M(O)|$ или величине этого промежутка.

PACS: 02.30.Nw, 02.30.Zz

УДК: 517.444

Ключевые слова: модуляционная передаточная функция, обусловленность, свертка преобразование Фурье, обратная проблема, сверхразрешение.

ВВЕДЕНИЕ

Аналогом обусловленности матрицы является параметр обусловленности для циклической матрицы или АФ O . Проблема сверхразрешения начинается с построения множества $\{O\}$ дискретных моделей АФ O по непрерывной модели АФ $\text{rag}O$ по трем параметрам: длина области определения L_{oc} , шаг оцифровки dx и параметр обусловленности $DIAP=1/diap$ (от слова *diapazon* для значений МПФ $M(O)$, $M(R)$). В примере на рис. 1 оцифровывается стандартная гауссоида с $L_{oc}=6$ с $dx=1$ и $dx=1/2$. Задачи выбора дискретной модели АФ O рассматриваются на множестве $LO=\{pO \mid [L_{oc}, dx, DIAP]\}$ обратимых $pR=pO^{-1}$, $M(pR)=1/M(pO)$.

Для АФ дельта-символ Кронекера DK $MPF(DK)=1$, тождественно равна единице. Ниже единицы до $diap$ располагаются значения МПФ $M(pO)$, выше единицы до $DIAP=1/diap$ — значения $M(pR)=1/M(pO)$. Самая обусловленная АФ DK , с $DIAP=diap=1$, если $DIAP$ увеличивается, то обусловленность падает. Точность ортогонализации двумерных Фурье гармоник учитываем инструментальной ошибкой (из-за ошибок мантииссы) $I_z \sim 10^{-13}$. Отсюда минимальное значение обусловленности — $DIAP=I_z^{-1}$. Ограничимся АФ O с МПФ $M(O)(0,0)=1$.

Мы исходили из того, что нам доступны изображения низкой точности в одно или в двух байтовом представлении. Поэтому в классификаторе разновидностей методов сверхразрешения пока выделяем пять методов-клеток в зависимости от длины промежутка между минимальным собственным значением $md = \min(|M(O)|)$ и нулем и точностью представления изображений.

Настройка АФ pO по обусловленности

По данной двумерной дискретной АФ O в линейной модели со сверткой — собственные функции АФ O есть множество двумерных Фурье гармоник H . В основе расчета двумерных массивов МПФ $M_{ij}=M(O)$, $i, j = 1:L_{oc}+1$ — задача на собственные значения $O * H = M_{ij} H$, которая решается с помощью Дискретного Прямого Преобразования Фурье (ДППФ) и операции четного продолжения [4].

Прибор с дискретной АФ O присутствует в линейной модели регистрации изображений со сверткой $I_{\partial} = O * I_x$. Значками SD (стандартное отклонение) ∂ и σ , отмечаем, что измеренное изображение I_{∂} и АФ $O\sigma$ известны с ошибками. В этой работе предполагается линейная дискретная модель регистрации изображений $I_{\partial} = O * I_x$, т.е. с $\sigma = 0$. Одинаково точные с $\sigma = 0$ модели дискретных АФ O с разными L_{oc} и dx , полученные оцифровкой с одной непрерывной АФ $\text{rag}O$, заметно различаются в результатах получаемого сверхразрешения. Часто возникают ситуации, когда исходное изображение с $dx=1$, требуется интерполировать (или измерить снова) под меньший шаг оцифровки с обратимым АФ O . Обозначим $md = \min|M(O)|$ — не настраиваемый и $mD = \min|M(pO)|$ — настраиваемый промежуток МПФ $M(O)$ и нулем. Если $md > 0$, то $R = O^{-1}$ и $I_x = R * I_{\partial}$.

Пусть мы «отодвинули» от нуля опасные малые значения МПФ на расстояние $mD > md$ с получением двумерного массива МПФ pM_{ij} из $M_{ij}=M(O)$, $i, j = 1:L_{oc}+1$, т.е. повысили обусловленность АФ pO . Тогда с помощью Дискретного Обратного ПФ (ДОПФ) и операции четного продолжения решается обратная задача на собственные значения: $pO * H = pM_{ij} H$ по вычислению настроенного двумерного АФ pO [4]. Так как мы далее АФ O заменяем более обусловленной АФ pO , то оцениваем и увеличенную ошибку $E_{gr}(pO)$ и уменьшенную реакцию на шум $Nor(pR) = ||pR||$ есть норма разрешающей функции такой настройки по обусловленности.

*E-mail: en.teren@physics.msu.ru

†E-mail: nikolay.terentyev@gmail.com

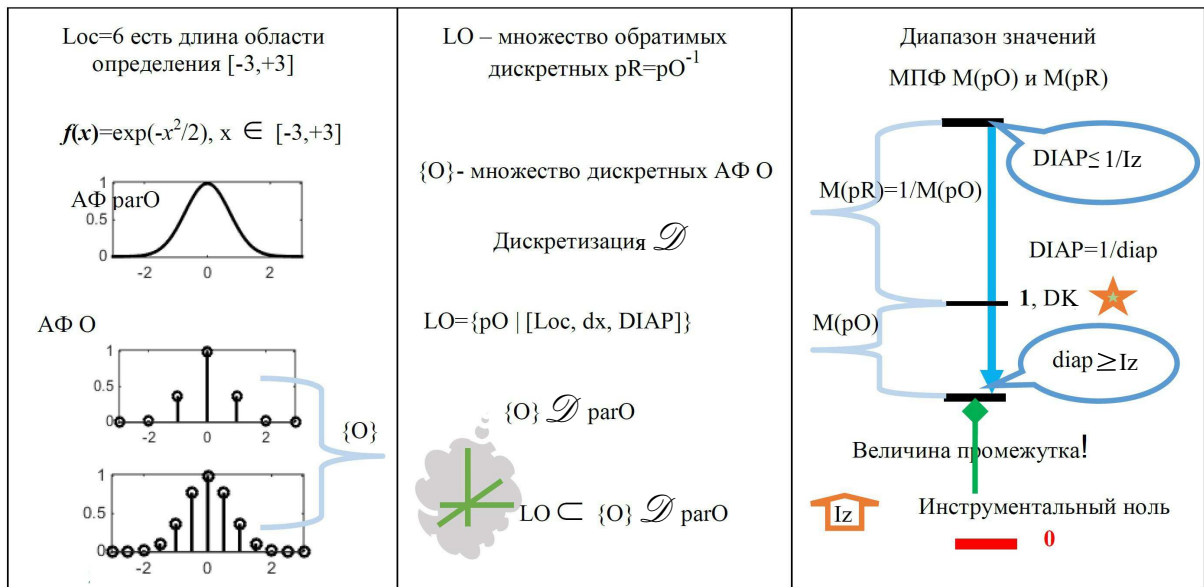


Рис. 1: Иллюстрации основных понятий

<p>A ★ $O=D_K$ $md=M(D_K)=1$ <i>Обращение не нужно</i></p>	<p>B ★ $\sim D_K$ $1 \leq md \leq 10^{-1}$ $R=O^{-1}$ <i>Обычное обращение</i></p>	<p>C $M(O), M(pO)$ $10^{-1} \leq md \leq 10^{-4}$ $md \rightarrow mD$ $pR=pO^{-1}$ <i>Для измерений низкой точности</i></p>	<p>D $M(O), M(pO)$ $10^{-4} \leq md \leq 10^{-5}$ $md \rightarrow mD$ $pR=pO^{-1}$ <i>Для измерений высокой точности</i></p>	<p>E $M(O), M(pO)$ $Iz \leq md \leq 10^{-5}$ $md \rightarrow mD$ $pR=pO^{-1}$ <i>Модельные эксперименты</i></p>	<p>F, Finish $M(O) \sim D_K$ $0 \leq md \leq Iz = 10^{-13}$ <i>Ошибки мантиссы</i></p>
---	--	--	---	--	---

Рис. 2: Классификатор методов сверхразрешения. В последнем случае F из-за ошибок мантиссы вычисления не имеют смысла

Ошибки АФ рО при настройке обусловленности

Величина ошибки АФ рО оценивалась величиной $Err(pO) = SD(O - pO) / \max(O)$, где

$$SD(O - pO) = \sqrt{\sum_{i,j=1}^{Loc+1} (O - pO)^2 / ((Loc + 1)^2 - 1)}.$$

Прибор априори — до измерений — должен «настраиваться» по параметрам [Loc, dx, mD] по непрерывной АФ parO [2-5], так что бы было либо естественное $md > 0$, либо с интерполированием изображения под другой шаг оцифровки, и повышением обусловленности DIAP для АФ O, $mD > md > 0$ (рис. 2 и 4). Сказанное означает, что в Классификаторе мы можем оказаться в **методах C, D** (измерения низкой и высокой точности), но лучше бы сразу попасть в идеальный **метод B** (обычное обращение без настройки обусловленности) (рис. 2).

В работе [3] приводится пример, когда для АФ O с Loc=размер изображения добавление одной точки

(Loc увеличивается на 1) приводит к обратимости АФ O, задача становится корректной.

Классификаторы

Классифицируются методы сверхразрешения по величине промежутка $0 \leq md \leq 1$ для АФ O в модели регистрации изображений $I\partial = O * I_x$.

Исходные данные

Для иллюстрации возможностей методов будут взяты три малых фрагмента изображения поверхности Марса с камнем. Заметим, что выделенные малые фрагменты изображений малоконтрастные — низкой точности — все яркости представлялись одним байтом, **метод C** классификатора.

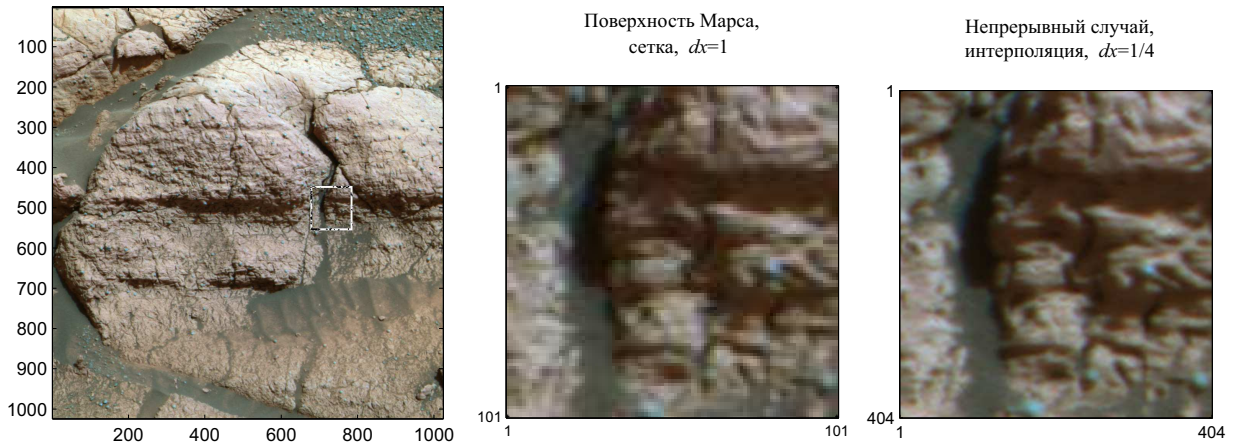


Рис. 3: Фрагмент изображения поверхности Марса, представленного на исходной сетке с $dx = 1$ и интерполированное изображение с помощью КМТО в непрерывный случай на сетке с $dx = 1/4$

Конечномерная Теорема Отсчетов для интерполяции

КМТО: Пусть даны: двумерный массив отсчетов (изображение на исходной сетке K, N) $D = f(x_0, y_0)$, двумерные ортонормированные матрицы дискретных Фурье гармоник $H(x_0) = \{H_i(x_0), i = 1 : K, x_0 = 0 : K - 1\}$, $H(y_0) = \{H_j(y_0), j = 1 : N, y_0 = 0 : N - 1\}$ и «непрерывные» Фурье гармоники $H(x) = \{H_i(x), i = 1 : K, x = 0 : dx : K - dx\}$, $H(y) = \{H_j(y), j = 1 : N, y = 0 : dy : N - dy\}$, $dx < 1, dy < 1$. Все Фурье гармоники нумеруются первым индексом и в матрицах H гармоники располагаются горизонтально.

Тогда непрерывная функция:

$$f(x, y) = \sum_{i,j=1}^{K,N} C_{i,j} H_i(x) H_j(y) \tag{1}$$

$$C_{i,j} = (f(x_0, y_0), H_i(x_0)H_j(y_0)) = \sum_{x_0,y_0=0}^{K,N} f(x_0, y_0)H_i(x_0)H_j(y_0), \quad i = 1 : K, \quad j = 1 : N \tag{2}$$

проходит через точки отсчетов $f(x_0, y_0)$. Скалярные произведения (2) реализуют двумерные ДППФ, а Фурье ряд (1) дает нам интерполированный двумерный результат.

В одномерном случае $D = f(x_0)$ результат интерполирования записывается в одну строку:

$$f(x) = (H(x_0) * D')' * H(x). \tag{3}$$

Звездочкой «*» в (3) обозначаем правило «строка * столбец с суммированием» при умножении матриц и штрихом ' — транспонирование. Первая звездочка реализует одномерное ДППФ (2), а вторая звездочка — сумму дискретного ряда Фурье (1). Заметим, что матрицы оцифрованных Фурье гармоник

$H(x_0), H(y_0)$ — унитарные по построению и предназначены для реализации одномерных ДПФ.

Такая интерполяция (1) дает хорошие результаты, если нет перепада отсчетов на границе изображений. В противном случае надо применять специальные защищенные от граничных эффектов методы [2, 3].

Есть варианты КМТО с операциями интегрирования и дифференцирования над массивами отсчетов вдобавок к интерполяции [6].

Выбор адекватной модели в методах С, D и E

Основная задача по выбору АФ $pO = pR^{-1}$ ставится как задача на минимум:

$$\min_{LO} \{ \|pR\| | \text{Err}(pO) \leq \text{err} \}, \quad LO = pO[Loc, dx, mD] \tag{4}$$

с построением Характеристикой Адекватности Модели (ХАМ) АФ O [2, 3]

$$x = \text{Nor}(pR) = \|pR\|, \quad y = \text{Err}(pO), \quad z = \Pi(pR * O). \tag{5}$$

Снизу не настраиваемый промежуток md должен быть больше Iz : $md > Iz$. В связи с этим ограничением по ошибке рассмотрим вариант ХАМ АФ O учитывая Iz обращение двумерной МПФ $M(O)$ (в записи без индексов):

$$M(zR) = \begin{cases} 1/M(O), & \text{for all } |M(O)| > Iz, \\ M(O) \end{cases}, \tag{6}$$

$$\{x = \|zR\|, \quad y = \text{Err}(zO), \quad z = \Pi(zR * O)\}. \tag{7}$$

В ХАМ АФ O (5,7) по оси z откладываются значения Индикаторов Обратимости (Indicators of Inversion) $\Pi(pR*O) = (pR*O)(0,0)$ и $\Pi(zR*O) = (zR*O)(0,0)$, т.е.

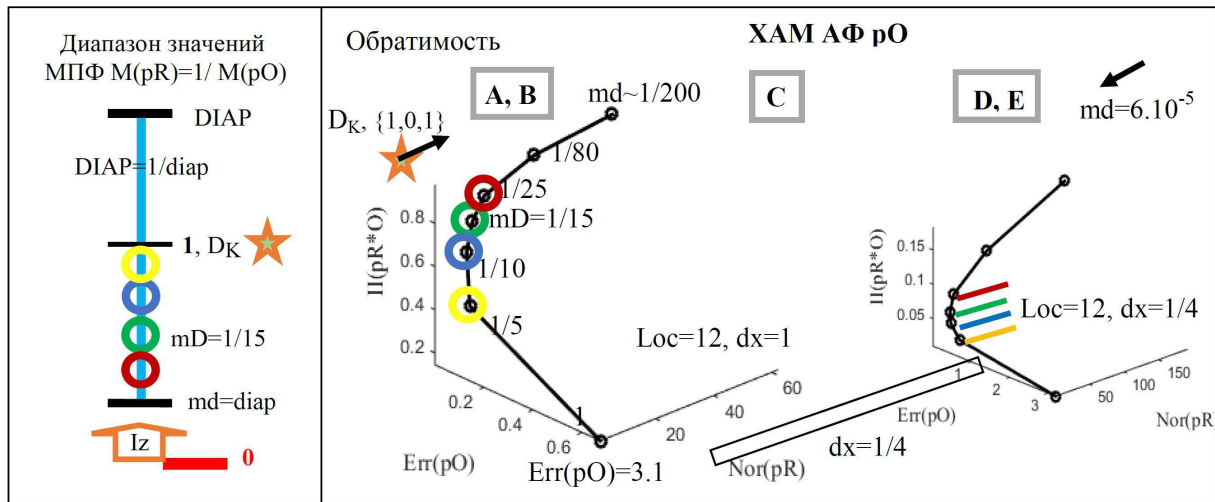


Рис. 4: Промежутки $md=\min|M(O)|$, $mD=\min|M(pO)|$ и ХАМ АФ pO

значения сверток настраиваемой pR и не настраиваемой zR с исходной АФ O в точке $(0,0)$. В обратном случае $\Pi(zR*O)=1$, $zR=R*O^{-1}$. Может случиться и так, что изменяя длину области определения Loc мы получаем обратимый случай $\Pi(pR*O)=1$, $pR=O^{-1}$. В ХАМ АФ O (5,7) Индикаторы Обратимости являются основным понятием для интерпретации результата сверхразрешения, который соответствует прибору с АФ $pR*O$. При идеальном сверхразрешении $pR*O=DK$ — символ дельта Кронекера.

Оценивание величины сверхразрешения

Пусть имеет место нормировка для $\sum_{i,j=1}^{Loc+1} O_{ij} = 1$, тогда МПФ $M(O)(0,0)=1$, в этом случае мы будем оценивать настраиваемое сверхразрешение величиной

$$SR = BP / \sum_{i,j=1}^{Loc+1} M_{ij}(pO) \leq \sum_{i,j=1}^{Loc+1} / \sum_{i,j=1}^{Loc+1} M_{ij}(pO) \geq 1, \tag{8}$$

$$BP = \sum_{i,j=1}^{Loc+1} M_{ij}(pR)M_{ij}(O). \tag{9}$$

где BP (9) (от Band Pass) — полоса пропускания. Если АФ $O=DK$ — символ дельта-Кронекера, то $SR=1$. Понятно, что проблема сверхразрешения возникает для случаев, когда АФ $O \neq DK$.

Полоса пропускания ограничивается площадью области определения АФ O $BP \leq \sum_{i,j=1}^{Loc+1} = (Loc+1)^2$. Величина SR не должна зависеть от больших размеров областей определения АФ O и размеров изображений. Аналогично настраиваемым SR (8) и BP (9) можно ввести величины максимально возможные величины zSR

и zBP при минимальной обусловленности $DIAP=Iz^{-1}$, но заметим, что это реализуется при максимальной реакции на шум $Nor(zR)$ (7).

Примеры ХАМ АФ pO

С ХАМ АФ O (4) представлены методы от **A** до **E**, отмеченные светлыми прямоугольниками. ХАМ дискретной модели с $dx = 1$ и размером области определения $Loc=12$ соответствует методу **C**. ХАМ непрерывной модели с $dx = 1/4$, $Loc=12$ ближе к методам **D, E** (рис. 4).

Если ХАМ непрерывной модели изображать в одном масштабе, то ХАМ непрерывной модели условно займет место длинного прямоугольника, помеченного $Err(pO)=3.1$ и $dx = 1/4$ (рис. 4).

Математическая фокусировка — регулировка увеличения разрешения изображений начинается с уменьшения от единицы регулируемого промежутка до нерегулируемого $1 \geq mD \geq md > 0$. При $mD=1$ в результате остается исходное изображение, ошибка $Err(DK)$ — максимальная. С уменьшением mD (падает обусловленность АФ pO) растут величины сверхразрешения SR и реакции на шум $Nor(pR)$, ошибки $Err(pO)$ уменьшаются до нуля (рис.4,5,6).

Для однобайтовых изображений (низкой точности метод **C**) ограничение (неадекватность) реализуется около $mD \sim 1/25$, появляются изменяющиеся («выбиваются» красные) мелкие детали в изображении (высокой реакцией на шум — $Nor(pR)$) (рис. 5). Поэтому считаем, для однобайтовых изображений, как в нашем примере ($\delta \sim 3 - 5\%$), допустимы величины $SR \sim 9.5$. Для двух байтовых изображений ожидается сверхразрешение $SR \sim 20-30$, методы типа **D**.

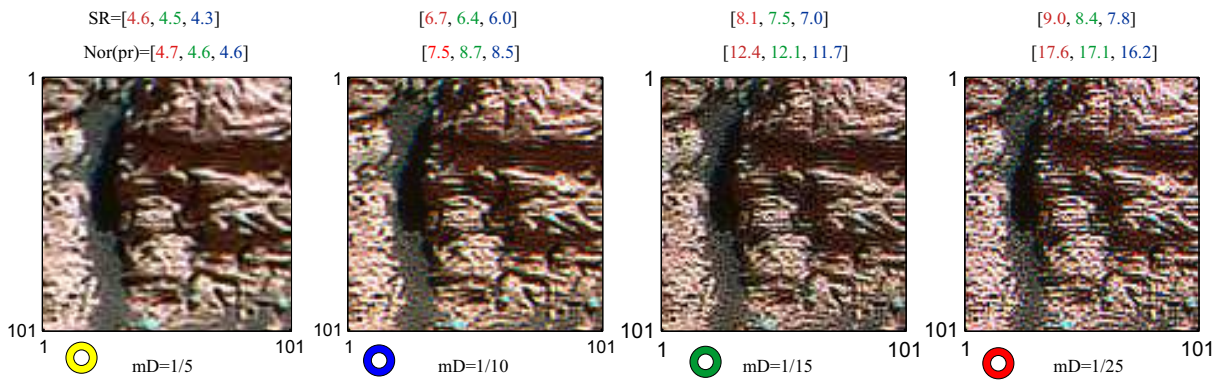


Рис. 5: Обусловленные сверхразрешения SR и реакции на шум $\text{Nor}(pR)$ в исходной сетке $dx = 1$

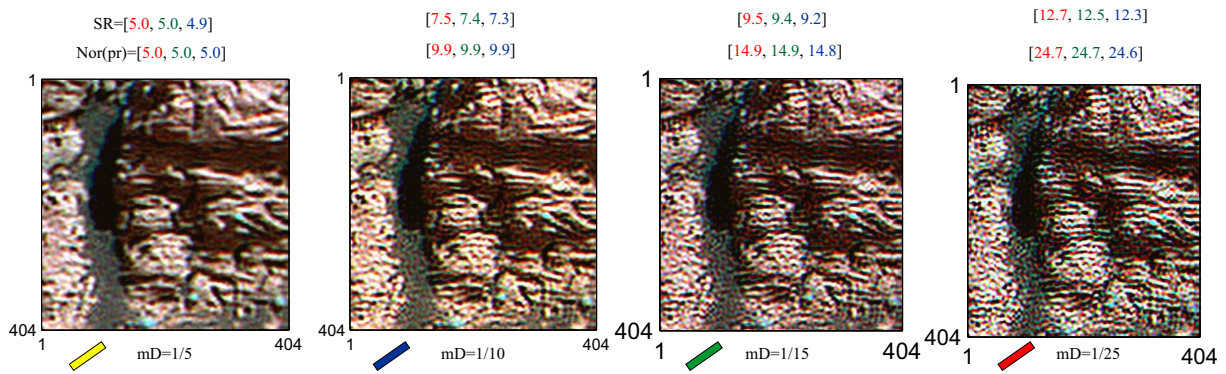


Рис. 6: Обусловленные сверхразрешения SR и реакции на шум $\text{Nor}(pR)$ с интерполяцией $dx=1/4$

Промежутки md и mD

На рис 7, 8 представлены промежутки $md=\min|M(O)|$ — не настраиваемый и $mD=\min|M(pO)|$ — настраиваемый промежутков МПФ $M(O)$ и нулем.

Структуры, похожие на окаменевший коралл

В втором изображении для демонстрации обусловленного сверхразрешения взята другая область изображения камня. По нашему мнению, структура этого участка похожа на окаменевший коралл. На этот результат обращаем внимание специалистов.

О разрешении объектов меньших пиксела

На третьем выделенном фрагменте изображения камня выделен участок с подозрением на песок в виде дюн. В дискретном и непрерывном случаях выделяют отдельные песчинки, меньшие чем пиксел исходного изображения.

О величине сверхразрешения SR

В обратимых случаях SR, zSR (8,9) как функция от параметров $[Loc, dx, mD]$ является функцией с насыщением по двум параметрам: длины области определения Loc и обусловленности mD . В дискретном случае $dx = 1$ это видно на рис. 11 слева. В непрерывном случае $dx = 1/4$ это видно на рис. 11 справа для больших значений mD в случае Iz обращений. А так как размер изображения, как правило больше размера области определения Loc , то действительно величина (с насыщением) обусловленного сверхразрешения SR не зависит от размеров изображений.

Iz обращения (6,7) с zSR позволяет нам «заглянуть за горизонт высоких обусловленностей в область низких обусловленностей», те найти величину сверхразрешения для очень больших mD вплоть до Iz^{-1} . Если при $mD=1/15$ мы имеем $SR=SR\sim 9.5$, то при $mD\sim Iz^{-1}$ zSR будет порядка ~ 156 . Такое большое сверхразрешение практически можно достичь только в модельных задачах — метод E, потому, что это сопровождается огромной реакцией на шум $\text{Nor}(zR)\sim 6 \times 10^5$ (рис. 12).

Применение теоремы о свертке

Обычно свертку связывают с ПФ, но это можно делать только при соблюдении определенных условий

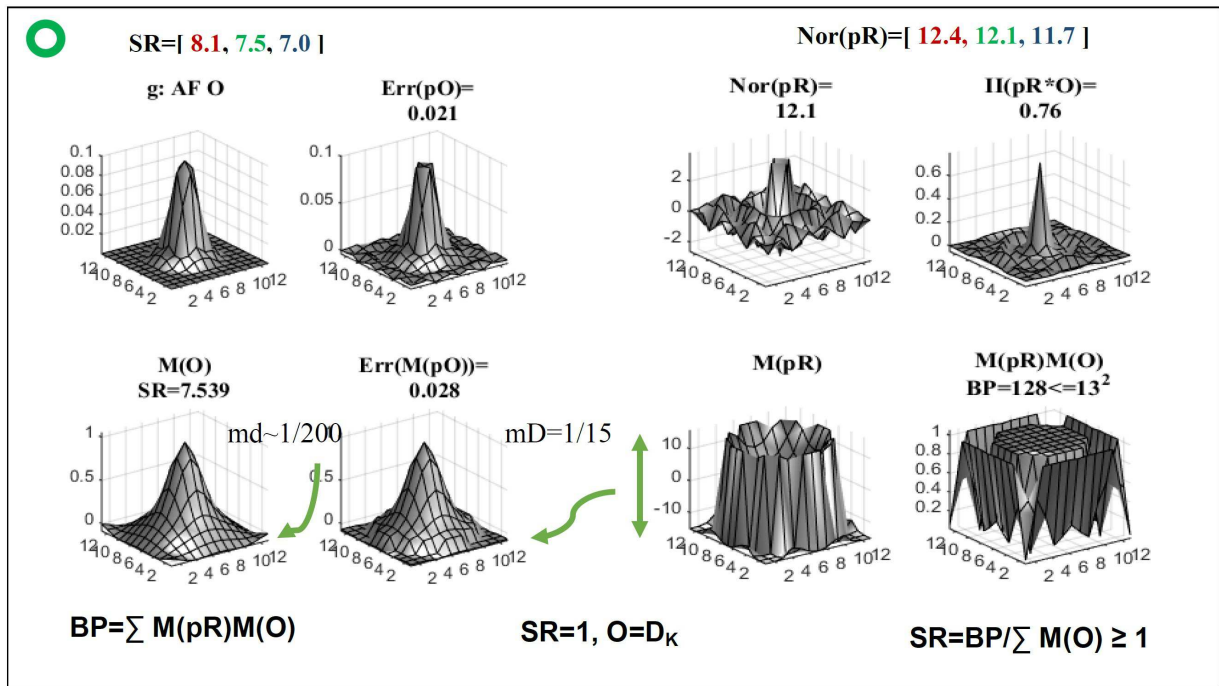


Рис. 7: Дискретная модель $dx = 1$ с промежутками $md \sim 1/200$ и $mD = 1/15$

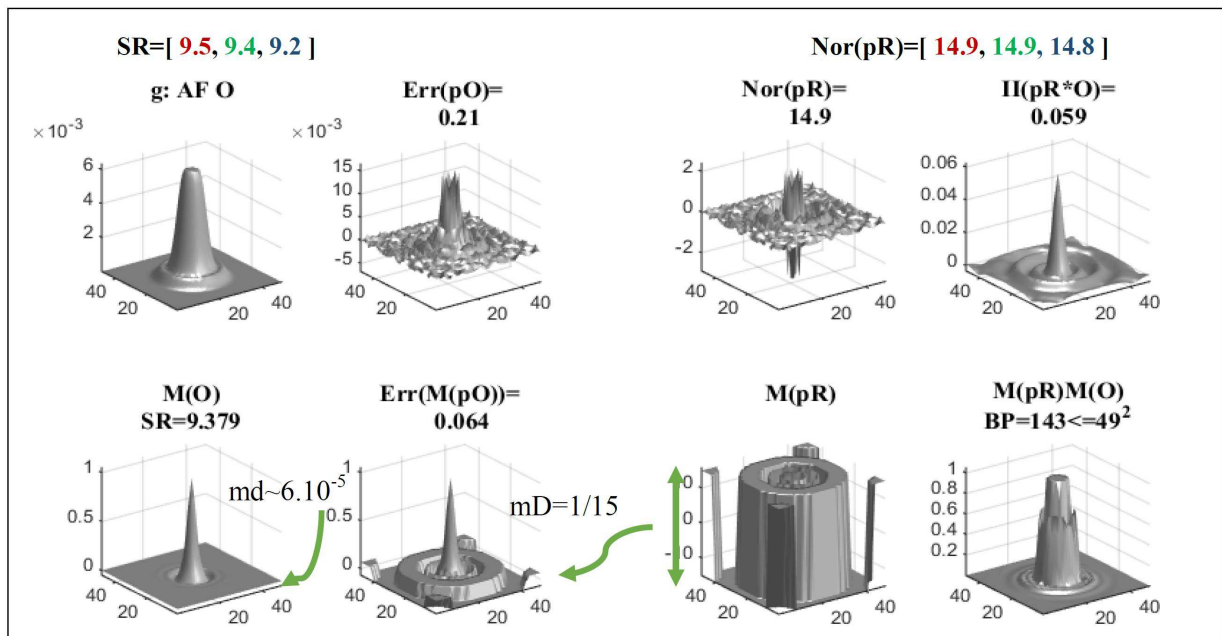


Рис. 8: Непрерывная модель $dx = 1/4$ с промежутками $md \sim 6.10^{-5}$ и $mD = 1/15$

для недопущения граничных эффектов. АФ О — четная и изображение то же должно быть четным [1, 2]. На рис. 13 показано, как проявляет себя «граничный эффект».

Для подавления граничных эффектов изображение следует «продолжить на тор» с регулируемыми размерами областей нейтрализации [1, 2]. Но по наше-

му опыту, лучше не использовать ПФ, а продолжать функцию за границу изображения «зеркальным отражением» [1, 2]. При этом увеличивается объем вычислений, а ошибки на границе изображения не столь заметны (рис. 14).

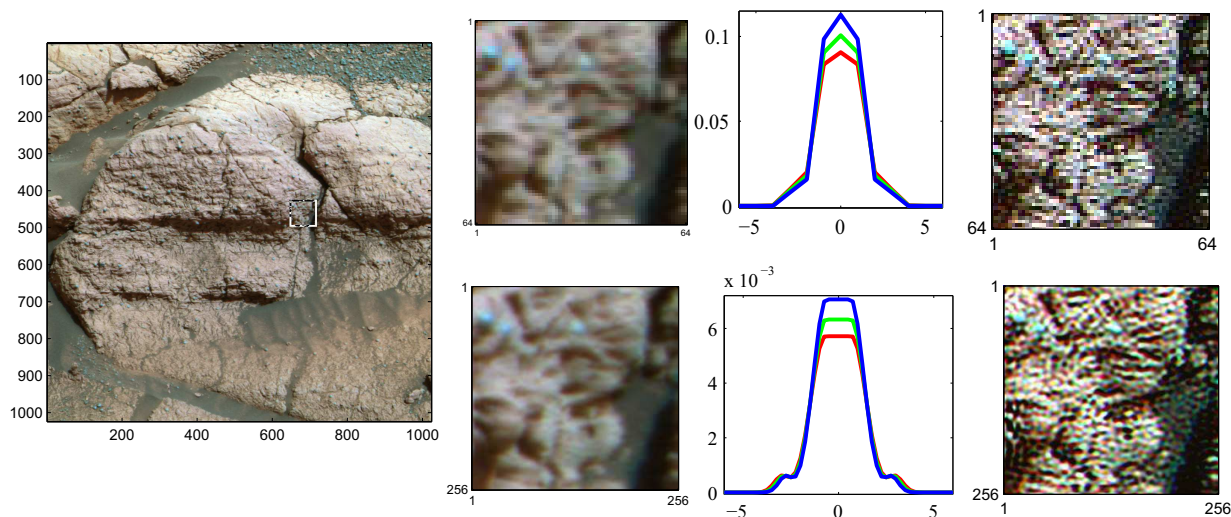


Рис. 9: Примеры обусловленных $mD=1/15$ сверхразрешений в дискретном $dx = 1$ и непрерывных $dx = 1/4$ случаях с $Loc=12$

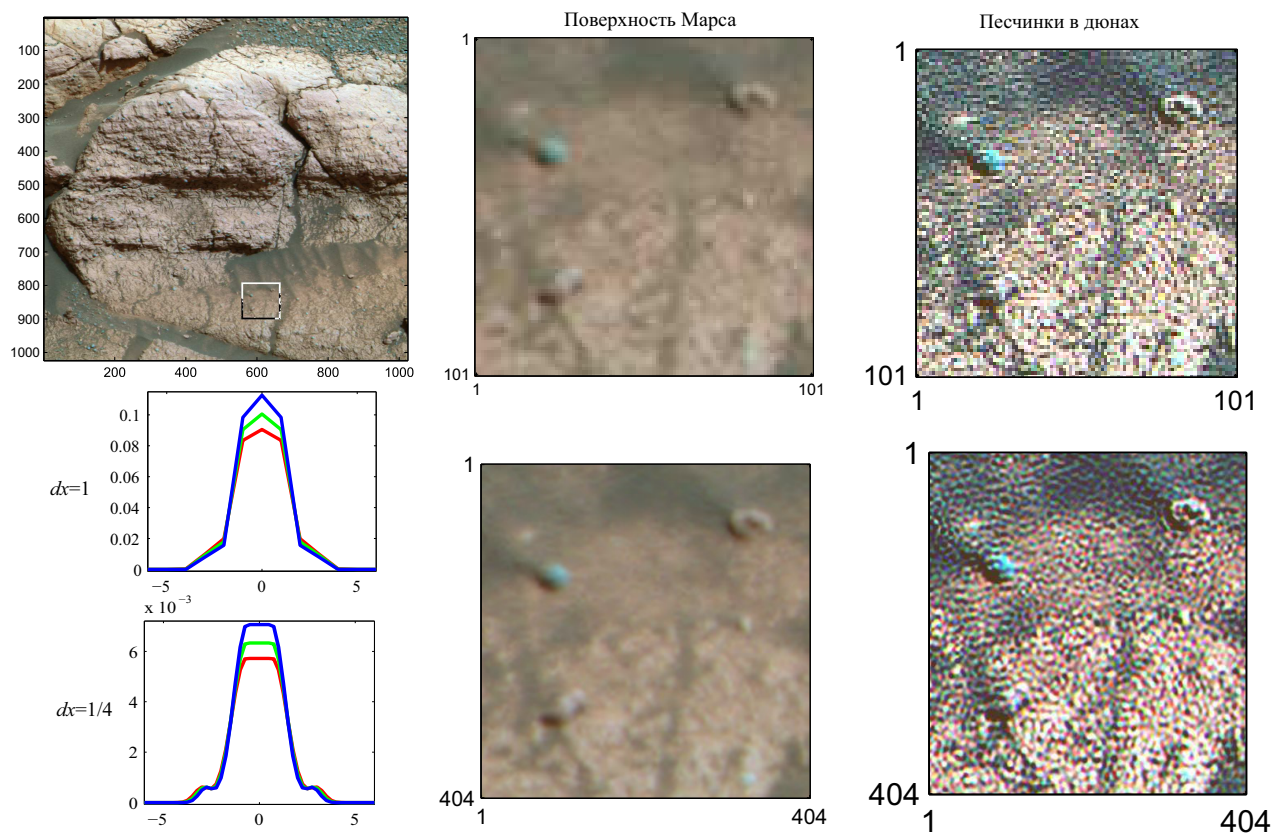


Рис. 10: Обусловленное $mD=1/15$ сверхразрешение отдельных песчинок в дискретном $dx = 1$ и непрерывном случаях $dx = 1/4$, $Loc=12$

Обсуждение

Подход в проблеме обусловленного сверхразрешения с Классификаторами упорядочивает создание моделей для достижения адекватного сверх разрешения.

В сверхразрешённых изображениях возможны скач-

ки, перепады яркостей, т.е. решения обратной задачи по компенсации искажений АФ О не являются гладкими.

Не гладкость решений позволяет обоснованно и безопасно применять данный метод, например, в контурах управления реакторами, навигаторами и т.п.

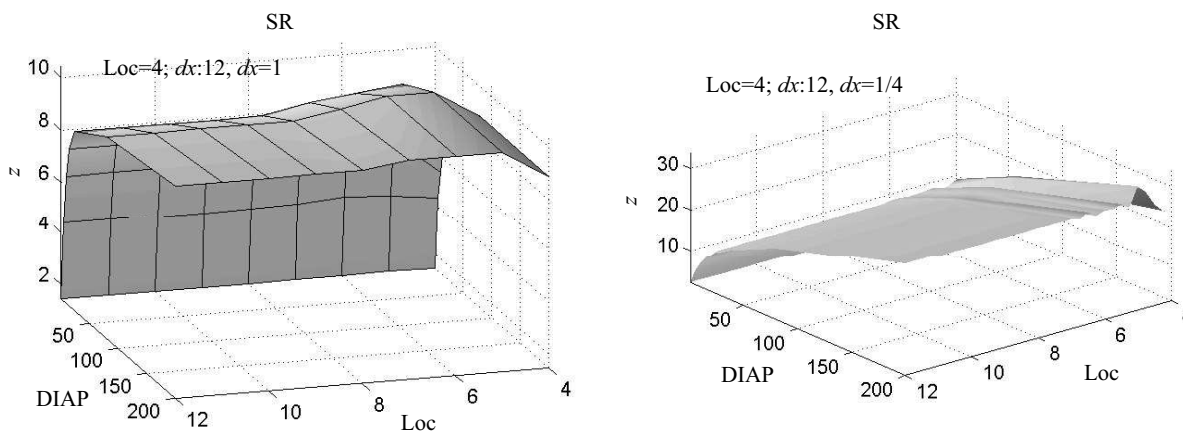


Рис. 11: Примеры зависимостей величин сверхразрешения SR от настраиваемых для локальных областей определения АФ рО параметров [Loc, dx, mD] в LO (4) в дискретном и непрерывных случаях

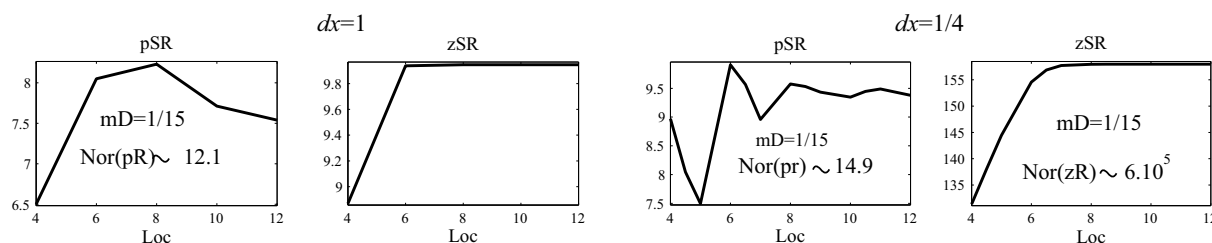


Рис. 12: Зависимости величин сверхразрешений pSR=SR и zSR от mD, Loc в дискретном dx = 1 и непрерывном dx = 1/4 случаях при Iz обращениях

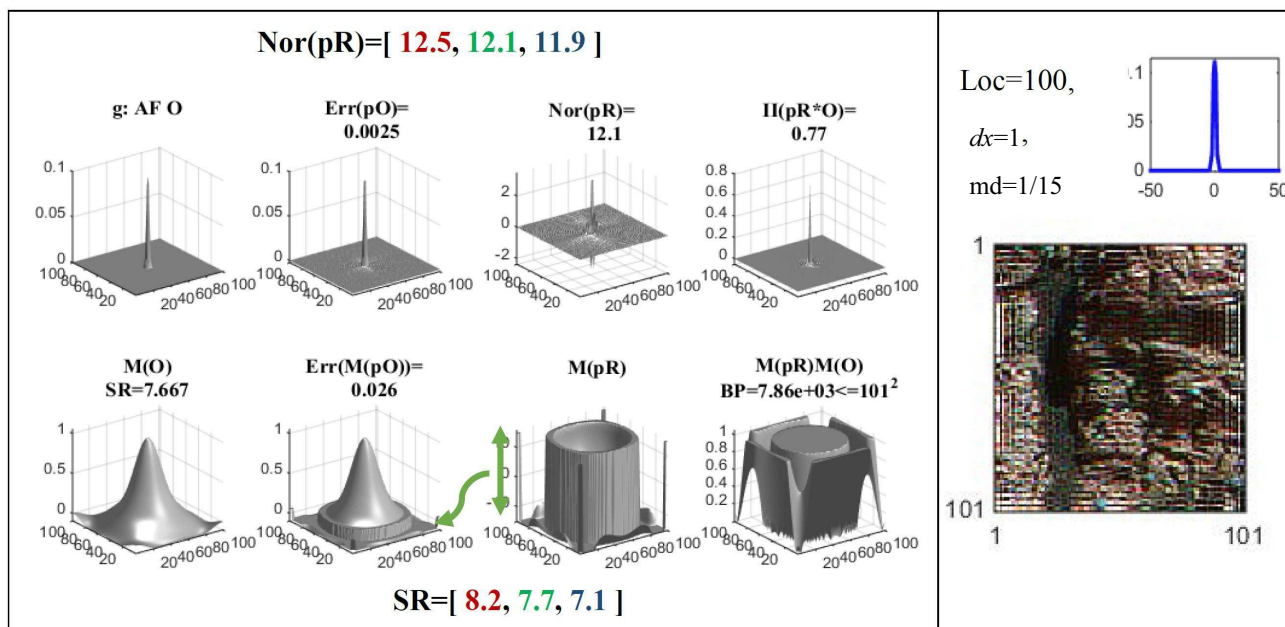


Рис. 13: Область определения АФ О — все изображение, дискретный случай dx = 1, граничные эффекты

Интересные модификации методов могут быть реализованы в новых радарных технологиях (с управляемой диаграммой направленности), в радарх с синтезированной апертурой и т.п. Результаты с более высоким

SR~17 уже получены в пассивном радиовидении [3]. Этот результат соответствует примерно двух байтовой точности представления данных измерений. Выделенные малоконтрастные фрагменты однобайтовых мар-

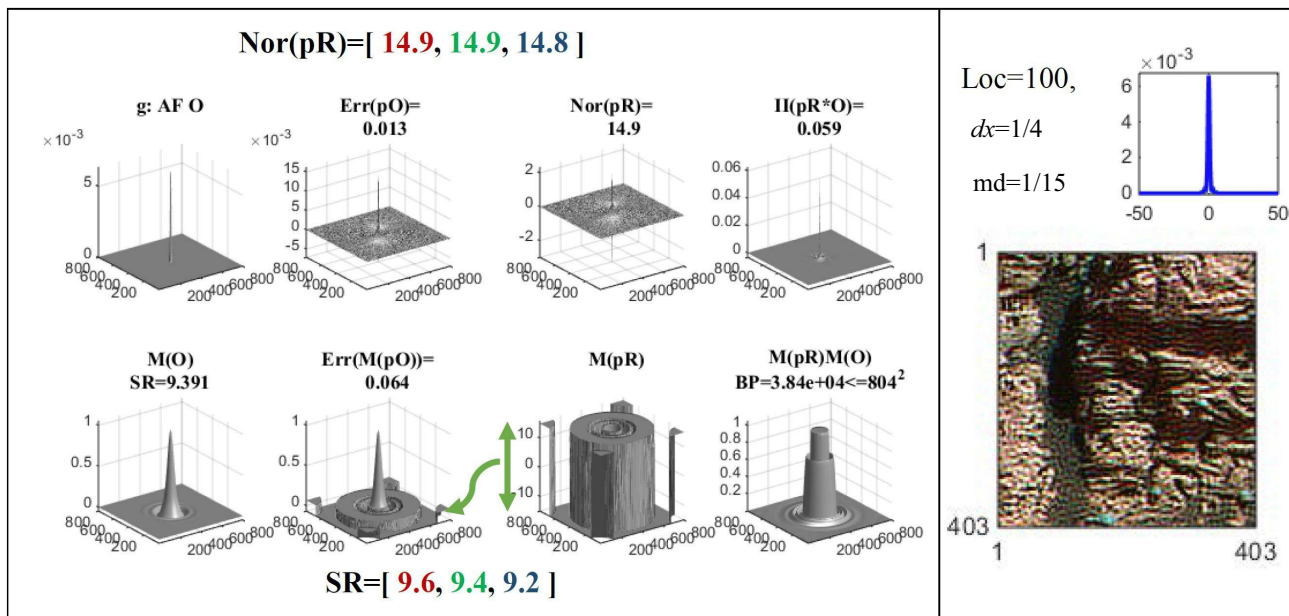


Рис. 14: Область определения АФ О все изображение, непрерывный случай $dx = 1/4$, защищенный режим

сианских изображений представлены с относительной точностью 3–5%, т.е. даже частью одного байта.

Если есть необходимость, то решения (сверхразрешенные изображения) можно «сгладить» (конечно, с потерей разрешения) согласно априорной информации.

Возможно применение методов сверхразрешения с интерполяцией для достижения предельного сверхразрешения в электронной микроскопии и томографии.

Необходимо разработать Классификатор для неточных моделей регистрации изображений $I_{\partial} = O_{\sigma} * I_x$, $\partial > 0$ и $\sigma > 0$.

Предлагаемая концепция проблемы сверхразрешения с классификатором намного сложнее классического метода регуляризации [6].

В работе [5] приведен пример пятилучевой Диаграммы Направленности (ДН), когда при компенса-

ции искажений ДН реализуется идеальное сверхразрешение с нулевой ошибкой $Err(pO)$ и малой реакцией на шум $Nor(pR)$.

Конечно, следует более детально просчитать ситуации с выходом из точки ДК, по отрезку, сектору в плоскости $Err(pO)=0$, $Nor(pR)>1$ потом с выходом в пространство 3D ХАМ с $Err(pO)>0$ и $Nor(pR)>1$ (упрощенный пример на рис. 4).

Важное свойство: при изменении настраиваемого промежутка mD к не настраиваемому $md>0$ (с понижением обусловленности АФ pO) и при стремлении к нулю ошибки $\partial - > 0$, приближенное сверхразрешение решение с SR стремиться к идеальному сверхразрешению с zSR . Практически реальное сверхразрешение ограничивается реакцией на шум $Nor(pR)$, $Nor(zR)$. Это по сути аналог асимптотического утверждения А. Н. Тихонова для метода регуляризации [6].

[1] Терентьев Е.Н., Терентьев Н.Е. Изв. РАН. Сер. физ. 2015. **79**, № 12. С. 1633. (Terentiev E. N., Terentiev N. E. Bull. of the RAS. Physics. 2015. **79**, N 12. P. 1427.

[2] Терентьев Е.Н. Ученые записки физического ф-та Московского ун-та. 2017. № 6. 1761005.

[3] Терентьев Е.Н., Терентьев Н.Е. 7-я межд. конф. Акустооптические и радиолокационные методы измерений и обработки информации, 15-17 сен. 2014, Суздаль, Россия, Программа, с. 49.

[4] Терентьев Е.Н., Терентьев Н.Е. там же, с. 53.

[5] Terentiev E. N., Terentiev N. E., Farshakova I. I. Physical and Mathematical Modeling of Earth and Environment Processes (PMMEEP). 2017. **19**. P. 171–182.

[6] Тихонов А. Н., Уфимцев М. В. Статистическая обработка результатов эксперимента. М.: изд. Московского университета, 1988.

Conditional super-resolution with classifiers

E. N. Terentiev^{1,a}, N. E. Shilin-Terentyev^{2,b}

¹*Department of Mathematical modeling and informatics, Faculty of Physics, Lomonosov Moscow State University
Moscow 119991, Russia*

²*Google, San Francisco, CA, USA*

E-mail: ^aen.teren@physics.msu.ru, ^bnikolay.terentyev@gmail.com

Classification of varieties of methods of super-resolution is based on the gap between the minimum value of the Modulation Transfer Function (MTF) $M(\omega)$ (for discrete Apparatus Function (AF) O) and zero. Classifiers underlie the concept of super-resolution. The main parameter of the AF O setting for increasing the resolution is the conditionality numerically equal to the reciprocal of the minimum value $|M(\omega)|$ or gap's value.

PACS: 02.30.Nw, 02.30.Zz.

Keywords: modulation transfer function, conditionality, convolution, Fourier transform, invers problem, super-resolution.

Received 26 June 2018.

Сведения об авторах

1. Терентьев Евгений Николаевич — канд. физ.-мат. наук, ст. преподаватель; тел.: (495) 939-41-78, e-mail: en.teren@physics.msu.ru.
 2. Шилин-Терентьев Николай Евгеньевич — lead developer, Google, San Francisco, CA, USA, e-mail: nikolay.terentyev@gmail.com.
-